

1978年6月

放射性元素の洗浄排ガスへの移行率
評価に関する試験

複製又はこの資料の入手については、下記にお問い合わせ下さい。

〒311-13 茨城県東茨城郡大洗町成田町4002

動力炉・核燃料開発事業団 大洗工学センター

システム開発推進部 技術管理室

Inquiries about copyright and reproduction should be addressed to:
Technology Management Section, O-arai Engineering Center, Power Reactor
and Nuclear Fuel Development Corporation 4002, Narita O-arai-machi Higashi-
Ibaraki-gun, Ibaraki, 311-14, Japan

動力炉・核燃料開発事業団 (Power Reactor and Nuclear Fuel Development
Corporation)

1978年6月

放射性よう素の洗浄排ガスへの移行率評価に関する試験

鈴木 実*

高荷 智*

中筋 孝**

要旨

ナトリウム冷却高速炉の一次系機器に付着した放射性ナトリウムの除去は、それらの機器の検査、補修および交換などに必要である。

一般に、ナトリウムの除去は、水蒸気およびアルコールによって行なわれている。

アルコールによって放射性ナトリウムを除去する場合、一次系機器の洗浄施設の安全評価を行なうためにナトリウム中の放射性よう素の気、液相への移行率を知っておくことが必要である。

本報告は、上記の要請にもとづいてよう素-131の気相および液相への移行率を測定した結果をまとめたものである。

放射性よう素を含むナトリウムの調製が困難であるので、よう素の移行率の測定は、放射性よう素を含むアルコールにナトリウムを溶解し、気相および液相中の放射能を測定して行なった。

よう素-131の気相への移行率は、反応槽にバブリングガスを通したとき 10^{-6} 以下であったが、バブリングガスのほかにアルコール液面上にカバーガスを流したとき 10^{-5} を示した。

液相への移行率は、1.0であり本実験条件下ではよう素-131はほぼ完全に液相中にとどまることがわかった。

* 現ナトリウム分析室

** ナトリウム技術開発室

PNC TN941 78-94
June, 1978

Experiment for Evaluation of Radioactive Iodine
Transfer Rate into the Exhaust Gas in the Sodium Removal Process

Minoru SUZUKI*, Satoru TAKANI*
and Takashi NAKASUJI**

Abstract

Radioactive sodium removal is required to primary system components of sodium cooled fast reactor for inspection, repair or maintenance. A steam and an alcohol process are generally used to removal of this sodium from the components.

In order to evaluate safety of the facility in which radioactive sodium is removed from the components by using alcohol, it was required to determine transfer rates of radioactive Iodine into gas phase and liquid phase, when the sodium was dissolved with alcohol.

Based upon above requirement, a study was conducted. This report has been described experimental procedure and measuring results of Iodine transfer rates. Measurement of the transfer rates have been done by counting iodine activity distributed between the gas phase and the liquid alcohol phase, after dissolving sodium into the alcohol containing radio Iodine, since preparation of sodium contained radio Iodine in homogeneous is difficult.

Transfer rate of Iodine-131 into the gas phase was below 10^{-6} , when bubbling gas was introduced into alcohol in a reaction vessel. Transfer rate, however, into the gas phase indicated 10^{-5} level when cover gas flowing was introduced into a upper space in the reaction vessel with combination of the bubbling gas flow. Transfer rate of Iodine-131 into the liquid phase was 1.0. So it was found that Iodine-131 is near completely retained in the liquid phase under this experimental conditions.

次
目

1. まえがき	1
2. 「もんじゅ」燃料出入機、燃料交換洗浄設備の概要および、実験条件の設定	3
3. 実験方法、実験装置および器具、試薬	5
3.1 実験方法	5
3.2 実験装置	7
3.3 試薬	8
4. 実験結果および考察	9
4.1 コールド実験結果	9
4.2 ホット実験結果	10
5. まとめ	13
6. あとがき	14
7. 参考文献	15
付録	
1. 実験目的	16
2. 実験項目	16
3. 実験方法	16
4. 実験結果	17
5. まとめ	18

* Sodium Chemistry Section, Sodium Engineering Division, O-arai

Engineering Center, PNC.
** Sodium Technology Section, do.

List of Figures

Fig. 1	Washing Vessels for JOYO and MONJU Primary System Components	19
Fig. 2	Iodine Transfer Measuring Apparatus	20
Fig. 3	Block Diagram of Gamma-ray Measuring System	21
Fig. 4	Dissolution Time and Max. Temp. of Alcohol in Cold Run A	22
Fig. 5	Dissolution Time and Temp. Ascension of Alcohol (Cold Run B)	23
Fig. 6	Dissolution Time and Max. Temp. of Alcohol in Cold Run C.	24
Fig. 7	Dissolution Time, Max. Temp. of Alcohol and Final Vol. of Alcohol in Cold Run D	25
Fig. 8	Dissolution Time, Max. Temp. of Alcohol and Final Vol. of Alcohol in Hot Run E	26
Fig. 9	Max. Temp. of Alcohol and Final Vol. of Alcohol in Hot Run F	27
Fig. 10	Dissolution Time, Max. Temp. of Alcohol and Final Vol. of Alcohol in Hot Run G	28
Fig. 11	Gamma-ray Spectrum of I-131 in Alcohol Solution in Hot Run G-3	29
Fig. 12	Gamma-ray Spectrum of I-131 found in Trap Solution (Hot Run G-3)	30
Fig. 13	Gamma Spectrum of Trap Solution (Hot Run E-2)	31
Fig. 14	Calibration Curve of Iodine by CCl_4 Extraction Method	32
Fig. 15	Effect of Alcohol on Extraction of Iodine	33

Table 7 Determination of Iodine-131 Transfer Rate to Liq. Phase and Gas Phase in the Hot Run

Fig. 1	Determination of Iodine Retention Rate in Liq. Phase in the use of Different Chemical Form of Iodine	40
--------	--	----

Table 8 Determination of Iodine Retention Rate in Liq. Phase in the use of Different Chemical Form of Iodine

Fig. 1	Design of Sodium Removal System for JOYO and MONJU primary System Components	34
Table 2	System Parameter and Experimental Parameter	35
Table 3	Design of Experiments	36
Table 4	Composition of Iodine-131 Standard Solution	37
Table 5	Composition of Denatured Alcohol	37
Table 6	Determination of Iodine Transfer Rate to Liq. phase and Gas phase in the Cold Run	38

List of Tables

Table 1 Design of Sodium Removal System for JOYO and MONJU

Table 2	System Parameter and Experimental Parameter	35
Table 3	Design of Experiments	36
Table 4	Composition of Iodine-131 Standard Solution	37
Table 5	Composition of Denatured Alcohol	37
Table 6	Determination of Iodine Transfer Rate to Liq. phase and Gas phase in the Cold Run	38

1. まえがき

ナトリウム冷却高速増殖炉内から燃料の出し入れ操作を行なうと、燃料出し入れ機器ナトリウム交換機などに、放射能を掛った一次系ナトリウムが付着する。これらの機器はメッシュシングス設備で付着ナトリウムをアルコールなどで洗浄したのち、再び使用される。

原型炉「もんじゅ」では、これらの機器の洗浄設備の設計を実験炉「常陽」の設備を参考として検討中であるが、本洗浄設備の安全評価を行なうに当って、当該機器をアルコールで洗浄する場合について、ナトリウム中に含まれるよう素-131が気相または液相中にどれほど移行するのかを知りておく必要がある。

一次系の機器に付着したナトリウムを水蒸気洗浄または燃焼処理したときのよう素-131およびセシウム-137の挙動については実験例が報告されているが(1)ナトリウムをアルコール洗浄したときの実験例は見あたらないと言われている。

本報告は、先に述べた必要性にもとづき、特に原型炉「もんじゅ」を対象にしてナトリウムをアルコールに溶解したときの放射性よう素の気相および液相への移行、挙動について試験した結果をまとめたものである。

この試験は、標題の項目を含めて次の項目についてのデーターを提供することを目標にして行なった。

- (1) よう素-131を含むナトリウムをアルコールに溶解したとき、よう素-131は気相または液相にどれ位の割合で分配するか。
- (2) よう素-131の移行率は、アルコール中にアルゴンガスを吹き込んだとき、どのように変るか、ただし飛沫同伴によるものは含めないものとする。
- (3) (2)の条件に加えて、アルコール液面上にカバーガスを流したとき、よう素-131の移行率はどう変化するか。
- (4) アルコール中に水が含まれる場合のよう素移行率の変化。
- (5) なお、ナトリウムの溶解時間、アルコールの溶解量、アルコールの最大到達濃度についても記録する。これらの項目についての実験は、「もんじゅ」製作準備設計(1)の機器洗浄条件をできるだけ模擬するように配慮して計画した。

しかしながら、よう素-131を含むナトリウムの入手は事实上不可能であった。
また、よう素-131とナトリウムとを混合して試料を合成するのは、実験上種々の問題があると予測された。すなわち、よう素-131とナトリウムを高温で溶解、混合するととき、よう素-131は爆発するかどうか、溶融生成物中によくう素-131が均一に混合されるか、混合容器材質中によくう素-131が浸入拡散しないか、などの問題をあらかじめ検討しておか

なければならない。これらのみ検討には反射能の分析、計測を要し、长期間が必要となることによる素-131の半減期は約8日と短かく試験期間中に破壊してしまうこと、たとえ強引にナトリウムとの混合物を作製しても、よう素-131の試料由分布が均一でなければはじめに加えるよう素-131量が不確定になるので、実験の目的が達成されなくなると考えられた。

本試験は、2～3ヶ月の短期間内に終了することを要請されたので、上記の検討は試験設備および期間の関係から事実上不可能と判断された。

そこでこの問題は次のようと考えた。

ナトリウムとアルコールとの反応は、ナトリウムがアルコールと接触する表面で生ずることのため、ナトリウム中に存在するよう素-131とアルコールとの反応は、ナトリウム・アルコール接觸界面で生ずると考えられる。市販のよう素-131水溶液は、アルコールに易容であり、よう素-131を均一に含むアルコールの調製が容易にできる。これにナトリウムを投入すると、比重の関係でナトリウムはアルコール中に沈降しないが溶解する。ここでナトリウム・アルコール・よう素-131の反応はナトリウム表面のみで生ずることになり、したがって含よう素-131ナトリウムのアルコール溶解時の状況を完全ではないにせよ上記の操作法である程度模擬しうるものと考えた。実験は、あらわしめ放射能を把握したのち、ホット実験を実施する順序で行なった。

これらの実験を実施するに先立つて予備試験を行なった。この試験内容、実験結果などは付録によりまとめた。

2. 「もんじゅ」燃料出入機、燃料交換機洗浄設備の概要および、実験条件の設定

「もんじゅ」の一次系機器の洗浄設備は、高速実験炉「常陽」一次系機器洗浄設備を参考に設計が進められている。「もんじゅ」用機器の洗浄槽の形状をFig. 1に、洗浄条件をTable 1に示した。

一次系機器は、20多までの水を含む変性アルコールで能動される。

洗浄中、アルコールの蒸水をおさえるためアルコール前面には、ガバーナスが流される。また、洗角液を搅拌するため洗浄底部から緊縛ガスが吹き込まれる。機器洗浄時のアルコール温度は、約60℃までの温度範囲で行なわれる予定である。

これらの条件を参考にしてビーカー実験での試験条件を設定する。

先ず、ビーカー実験としてアルコール量は、0.5Lに設定する。

設計条件におけるガバーナス流量、パブリングガス流量、ナトリウム溶解量をアルコール0.5L当たりに換算するとTable 2の通りになる。

アルコール温度、およびアルコール中の含水率は比例計算するのは不適当であるのでそのまま採用すると、実験すべき条件はTable 2の右の列のようになる。

Table 2の選定実験条件をもとに実験計画をTable 3のように定めた。

実験は、コールド実験およびホット実験で装置および操作法に慣熟する。

と共によう素の燃焼の挙動を把握する。ホット実験ではよう素-131を用いてナトリウム溶解時ににおけるよう素-131の気相および液相への移行率を測定する。

次に各試験内容の概要を説明する。

(1) Run A (Run A～Run D : コールド実験)

アルコールに溶解するナトリウム量を変える。このときのナトリウムの溶解時間、溶解度上限およびよう素の気液移行率を求める。

(2) Run B

溶解ナトリウム量を一定としたアルコール温度を変える。このときのナトリウムの溶解時間、アルコール温度上限およびよう素の気液移行率を求める。

(3) Run C

ナトリウム量、アルコール初温度を一定として溶解時間のパブリングガス量を変える。各場合のアルコールの最高温度、ナトリウム溶解時間およびよう素の気液移行率を求める。

(4) Run D

溶解ナトリウム量、アルコール初温度、パブリングガス量をRun Cと同様にし、ガバーナスを流す。この時の効果をRun Cと同様に測定する。

(5) Run E (Run E ~ Run G : ホット実験)

ハブリックガス流量を変えてその効果を測定する。
ナトリウム、アルカリ温度、パブリングガス送気時間は一定とする。

(6) Run F

Run E と同様の実験条件下でカバーガスを流し、その効果を測定する。

(7) Run G

アルカリ槽中の含水率のみを変えてその効果を測定する。

3. 実験方法、実験装置および器具、試薬

3.1 実験方法

3.1.1 実験方法概要

Fig. 2 に示す反応槽にアルコールをとり、これによう素標準溶液または、よう素-131溶液の一定量を入れる。次に液温、カバーガス流量およびパブリングガス流量を、あらかじめ設定条件にしたがって設定しナトリウムを溶解する。溶解後、溶液中に残留するよう素量を測定する。一方気体として揮発しているかもしないよう素はアルカリ性浴液に捕集して、その量を測定する。各々の測定値を、はじめに存在したよう素量で除して液相および気相へのよう素移行率を求める。

3.1.2 コールド実験手順

- (1) 実験装置の反応槽に変性アルコール 0.5 ℥を入れる。
- (2) これによう素標準溶液を正確に 10 mL (よう素相当) を加え、液量を正確に読みとる。
- (3) よくかきませたのち、装置を Fig. 2 のようにセットし、貯蔵槽に水酸化ナトリウム浴液 (0.01 N) 50 mL を入れる。
- (4) アルコールの温度を所定の温度に設定したのち、カバーガス流量または、パブリングガス流量を Table 3 に示した設定条件に定める。
- (5) 直ちに金属ナトリウムの所定量を反応槽に投入して溶解し、反応時の最高液温を測定する。
- (6) 反応終了後、反応槽を装置からとりはずし、蓋をして常温まで放冷したのち、液封を読みとる。
- (7) 反応槽からアルコール溶液を正確に 20 mL 抽取し、ビーカーに入れる。これに水約 20 mL を加え湯浴上で蒸発固する。
- (8) 貯蔵槽内の浴液は全てビーカー (容量 500 mL) に移し入れ湯浴上で蒸発固する。
- (9) 手順(7)および(8)で蒸発固したそれぞれの溶液を水で溶解したのち、分液ロートに移し入れ、水で液量を 80 mL とする。
- (10) これに硫酸 (9N) 5 mL を加え、かきませて酸性としたのち亜硝酸ナトリウム浴液 2 mL を加え、よう素を酸化する。次に四塩化炭素約 15 mL を加えて振りませ、よう素を抽出し有機層は、メスフラスコ (50 mL) に移し入れる。
- (11) 四塩化炭素による抽出を更に 2 回繰り返し、有機層は先のメスフラスコに合わせ、四塩化炭素で正しく 50 mL にする。
- (12) よくかきませたのち、その浴液の一部を脱脂綿で口過して水分を除き、ロ液の一部を分光

遮蔽性能 1 / 53

(IG) 製品分析装置およびデータ処理装置
(CANBERRA 8100 QUANTA SYSTEM)

波高分析器 4096 ch

データ処理装置

(CASSETTE SYSTEM)

日立139型、20 mm吸収セル

(3) 分光々要計 KKMイワキ製、KKM式万能シェーカー

(4) 板とう機 ヤマト科学KK型、BS-44型

(5) 湯浴

3.3 試薬

(1) よう素標準溶液

純よう化ナトリウムの11.812gを秤量し、変性アルコールに溶解する。これを1ℓのメスフラスコに移入し、変性アルコールで直しく標線までうすめる。この溶液1mℓはよう素10.0mgを含む。

(2) よう素-131標準溶液

日本アイソotope協会より購入、使用した。その組成をTable 4に示した。

(3) 変性アルコール

日本化成品KK型、エキネンF-1号を用いた。その組成をTable 5に示した。

(4) よう素吸引液

0.1N水酸化ナトリウム溶液5mℓを使用のつと木で50mℓにうすめた。

(5) その他 特級試薬を用いた。

4. 実験結果および考察

4.1 コールド実験結果

結果をTable 6に示した。以下各Runごとにその結果を述べる。

(1) Run A

溶解ナトリウム量を変えてよう素の移行率をしらべた。このときのナトリウムの溶解時間およびアルコールの最高温度などをFig. 4に示した。ナトリウム量が増加するにしたがって溶解時間は短くなったり、ナトリウム量が増加するにしたがってアルコールの温度が上昇していることから、温度上升にもとづく反応速度の増加によるものと考えられる。

吸収槽中のよう素吐すなわち、気相へ移行したよう素量は、いずれも測定に使用した分析方法の定量下限以下(0.18 mg以下)であった。

液相中のよう素は、ナトリウム溶解量が増加するにしたがって若干増加する傾向にあるが、これは多分アルコールの被量の読みとり誤差によるものと思われる。

液相への移行率は、ほぼ1.0を示し、よう素はほぼ完全に液相中に止まることを示している。

(2) Run B

ナトリウム量は、一定にしてアルコール温度を変えて溶解した。

ナトリウムの溶解時間およびナトリウムの溶解によるアルコール温度の増加などをFig. 5に示した。

ナトリウム量は、アルコール流量が高くなるにしたがって短縮される。30℃を越えると急速に短縮されるが50～60℃ではあまり大きな変化は認められない。これは投入するオートリウムの形状にも関係すると考えられるが、ナトリウムの形状が一粒ならば(本実験では直径約8mmの円柱状のものを使用)この現象は次のように考えられる。

ナトリウムとアルコールが接触する界面で溶解反応がおこり、この界面に水素が発生する。アルコール温度が高くなると、このためにナトリウム表面は水素の気泡で覆われるようになると、アルコール温度がある程度高くなるとこの水素被膜の生成によってアルコールとナトリウムの接觸が妨げられ反応が停止される。

このため見かけの反応はあまり変化しなくなるものと考える。反応によるアルコールの温度上昇は、アルコールの初めの温度が50～60℃の範囲ではあまり大きな変化はない。これはアルコール液面からアルコールが蒸発することによって潜熱がうばわれ液温上昇が抑制されるものと考えられる。この温度上昇の抑制も先の溶解反応を伴隨している一つの要因となっていると考えられる。

よう素の移行率は、基本的にRun Aの結果と同様で、アルコール温度があがつてもよう素は

完全に被相中に止まるところを示している。

(3) Run C

ナトリウム量およびアルコール温度を一定にして、バブリングガス量を変えた場合である。

(Table 6 およびFig. 6 参照)

ナトリウム溶解時間は、ほとんど変化しなかった。溶解時のアルコール最高温度は、バブリングガス量が増加すると逆に減少する傾向を示した。これはバブリングガスの導入によって液相が浴槽されたこと、アルコールの蒸発潜熱によって温度が低下したためと考えられる。Table 6 の結果からアルコールの減少量は約 70 mℓ によよぶことから蒸発潜熱による効果の方がより支配的であると考えられる。

よう素の移行率は、Run A E およびRun B の結果と変りなかった。

(4) Run D

Run C の条件に加えて、カバーガスを一定量通じながらナトリウムを溶解した場合である。

(Table 6 およびFig. 7 参照)

実験結果は、Run C の場合とほとんど同じであるが、カバーガスを流したことによってアルコールの液量は Run C の場合より若干減少していることがわかった。

4.2 ホット実験結果

(1) Run E

コールド実験のRun C に相当する実験で、ナトリウム量およびアルコール温度を一定としておき、バブリングガス量を変えた場合である。ただし、バブリング量は 0 ~ 2 ℓ/分の範囲に細かくとした。(Table 7 およびFig. 8 参照)

ナトリウムの溶解時間、アルコールの最高温度および液量の変化などは、Run C の場合と同じで、よう素-131 の気相への移行率は 10^{-6} 以下であり、バブリングガス量が 2 ℓ/分までは変化せず、よう素-131 は完全に液相中に留まることがわかった。

はじめにえたよう素-131 の放射能が実験番号が多くなるにしたがって減少しているのは、よう素-131 の半減期 (8 日) にもとづく減衰のためである。

よう素-131 の気相移行率が実験番号とともに若干変化しているのは、はじめに加えたよう素-131 量が変化しており、この値でトランプ中に検出されたよう素の放射能 (ほぼ一定値) を除しているためで、気相への移行率が実質的に変化していることを示すものではない。

(2) Run F

コールド実験の Run D に相当する実験で、Run E の条件にカバーガスを加えた場合である。(Table 7 およびFig. 9 参照)

アルコール被相変化および最高温度も Run D の場合とほぼ同じである。ナトリウム溶解時間は測定しないが大巾な変化はないものと考える。

気相へ移行したよう素-131 量は、Run E の場合に比較して低くなっていることがある。これは、ガスバーリングによってアルコール液面上に放射性よう素を含む微細なミストが形成され、これがカバーガス流と共に吸収槽へ運ばれたためと考えられる。液相への移行率は 1.0 % であった。

(3) Run G

Run F の場合とほぼ同一条件であるが、バブリングガス量は 2 ℓ/分と一定にしてアルコール中の含水率を変えた場合である。なお、この Run では吸収槽へのミストの影響の有無をしづかるため、ガスの通気をナトリウム溶解終了と同時に停止するケースを Run G → 2 に設定した。この結果を Table 7 およびFig. 10 に示した。

アルコールの最高温度は含水率が 5 % 増加することに 2.5 °C ずつ上昇する。また反応も含水量の増加に伴って激しくなり、含水率 10 % 以上ではナトリウムが液面上に浮き上がった状態で激しく反応、溶解する。このため溶解抑制は急速に短かくなる。含水率 20 % の場合は、ナトリウム投入に際して危険がともうので実験を中止した。

液量の減少は Run F のバブリングガス 2 ℓ/分の場合とほとんど変りない。しかし、ナトリウム溶解終了と同時にガスの送気を止めた場合 (Run G → 2) の液量減少は約 1 % と比較的小さい。このことから液量と吸収槽から離れたガス導入による揮発がかなり大きいと言える。

ガス導入時間が長いと吸収槽から離れたガス導入による揮発がかなり大きくなるが、ガス導入時間が短かいとよう素-131 は換出下限以下を示す。

これは、ガスバーリングによって生成した微細なアルコールミストが吸収槽まで運ばれないと想定される。この現象は、ガス導入による揮発がかなり大きくなると想定される。参考までに、Run G → 3 の場合について、はじめの溶液中のよう素-131 および吸収槽中のよう素-131 の γ 線スペクトラムを Fig. 11 および Fig. 12 に示した。

また、Run E → 2 の吸収液の γ 線スペクトラム (よう素-131 が検出されなかつた) を Fig. 13 に示した。

Run G の場合のようにナトリウムの溶解反応が激しくかつ、それがアルコール液面附近で行なわれるような条件下でも、よう素-131 の気相への移行率は、 10^{-5} オーダーであり、はじめに加えたよう素-131 は、その 99.999 % が液相中に留まることがわかる。よう素-131 の気相への移行率は、カバーガスの通気時間を少なくするか、止めることによって 10^{-6} 以下とすることでできる。

これから、カバーガスの送入は、アルコールの蒸発損失を大きくすること、それにより本設備においては、ガス系配管にアルコールが凝縮結露すること、バックアップフィルターを漏れさせること、よう素-131 を含むミストを運送する役目を果たし、見かけ上気相への移行。

率を大きくすることなどの点についても述べるべきであろう。

ホット実験において液相へのよう素移行率が 0.99 を示す結果があるが、これは幾りのアルコールが気相へ移行することを示すものではなく、液相中のよう素量を求めるときの基準となるアルコール濃度の値よりもとくものと考えられ、気相移行率から推定してもよう素は完全に液相中に残留すると書いてよい。

ナトリウム中によるよう素が単体で存在しても、このものはアルコールに易溶であり、ナトリウム溶解時に発生する水素により還元され安定なよう素イオンになり液相中に留まると考えられる。

放射性よう素を含むアルコールにナトリウムを溶解し、気相および液相中へ移行した放射能を測定して放射性よう素の各相への移行率を求めめた。

本実験条件のもとで次のことがわかった。

- (1) ナトリウムをアルコールで溶解するさいのアルコール中のよう素-131の気相への移行率は、カバーガス送入がなくブリッジガス流量が 2 ル/分までの条件下で 10^{-5} 以下であった。また、液相への移行率は 1.0 で、よう素-131は、ほぼ完全に液相にとどまることがわかった。

(2) ナトリウムを溶解するさい、反応槽にブリッジガス、カバーガスを流した場合、よう素-131の気相への移行率は、 10^{-5} であった。これは、カバーガスの通氣によってブリッジの際に発生した溶液の微細なミストがガス気流にまわって移動したためと考えられる。

(3) ナトリウムの溶解に含水アルコールを使用し、溶解反応を激しく行なってもよう素-131 の気相への移行率は 10^{-5} のオーダーであり、液相への移行率も 1.0 で変化しなかつた。

- (4) よう素-131の気相への見かけの移行率を高める要因は、カバーガスの反応槽への送入によるものであることがわかった。
- (5) ナトリウムの溶解時間は、アルコールの温度をあげることおよびアルコール中の含水量をあげることにより短縮できる。

ブリッジガスの送入は、本実験ではナトリウムの溶解時間を短縮する効果は認められなかつた。

- (6) 反応槽へのカバーガス送入は、見かけ上、よう素-131の気相への移行率を高める。また、ブリッジガス送入量ともあいまってアルコールの蒸発損失を高める。

6. あとがき

7. 参考文献

(1) 本実験は、種々の制約からよう素-131を含むナトリウムを試料として用いるにとどめることができなかった。このためよう素-131をアルコールで溶解しておき、これにナトリウムを投入することでの実験を行なった。また、一次系ナトリウム中によるよう素-131がどんな化学形で存在するのか明確でない。本実験では取扱いの容易なよう化ナトリウムを使用した。これらの実験条件は、実際の溶解条件に比較すると様相が異なるものと思われる。したがって、本実験結果は、上記実験条件を加味して評価されるべきである。

(2) 実際の洗浄槽には複雑な形状の被洗浄体が置かれるが、本実験の場合は、被洗浄体を挿入しない状態でナトリウムが、それも一箇の塊として投入された。このため本実験条件は実験機の条件を全く模擬しているとは言えないであろう。したがって(1)に述べたと同様に本実験結果はこれらの点を含んで評価されねばならない。

(3) 今後の試験においては、上記(1), (2)の点を考慮して実験を行なうべきであろう。

(4) しかしながら、本実験ではよう素-131の気液移行について基礎的なデータの一つが収得されたものと考える。

- (1) 三菱原子力工業KK “汚染ナトリウムの焼却処理技術用装置開発試験II”, SJ 206-76-04 (1976年3月)
- (2) 日立製作所：“密閉容器内におけるナトリウム燃焼実験2”, SJ 202-77-10(1977年8月)
- (3) 原型炉準備室 前田氏 私信
- (4) 日本化学会編：“化学便覧・基礎編-1” PP-354, 丸善KK, 1966年

付 錄

ナトリウム投入前後のよう素含有量を比較してよう素のアルコール中残留量を求める。

4. 試験結果

(1) よう素の検量線

本文で述べた試験を実施するのに先立って若干の予備試験を行なった。ここではそれらについて述べる。

1. 試験目的

- (1) コールド実験で使用するよう素の分析方法を確立すること。
- (2) アルコールに溶解するよう素の化学形によりナトリウム溶解時の挙動が変化するかどうかを確認すること。(コールド実験)

2. 試験項目

- (1) 四塩化炭素抽出法によるよう素の検量線の作成。
- (2) よう素の抽出測定におよばず共存アルコールの影響。
- (3) よう化ナトリウム含有アルコールにナトリウムを溶解したときのアルコール中のよう素残留率の測定。
- (4) 单体よう素含有アルコールにナトリウムを溶解したときのアルコール中のよう素残留率の測定。

3. 試験方法

- (1) 四塩化炭素抽出法によるよう素の検量線の作成。
よう素標準水溶液からよう素として0~7mgを段階的にとり分液漏斗(容積200mℓ)に移し入れ、水で液量を約80mℓとする。
以後、本文3.1.2の手順⑩~⑫にしたがって操作し、遊離よう素の呈色(赤色)にもとづく吸光度とよう素量との関係線を作成する。
- (2) よう素の抽出におよばず共存アルコールの影響。
上記(1)の定量法において被抽出水溶液中に共存を許容しうるアルコール量を求める。
よう素イオノンを含む水溶液中のアルコール濃度(v/v)を0~50%に変化させ、上記(1)の操作を行なってアルコール濃度と吸光度の関係をしらべる。なおアルコールは、エチルアルコールおよび変性アルコールを使用する。
- (3) よう素の化学形によるナトリウム溶解時の挙動。
本文、Fig. 2の反応槽に変性アルコール約500mℓをとり、これによう化ナトリウムまたは单体よう素をよう素として約50mg加えて溶解する。この浴液から8.0mℓを採取し四塩化炭素抽出法でよう素含有量を定める。残りの浴液の液量を読みとったのも反応槽内に金属ナトリウム1gを投入して溶解する。散冷後液量を読みとり、この浴液8.0mℓを採取して四塩化炭素抽出法でよう素含有量を求める。

試験結果をFig. 14に示した。よう素は7.0mgまでの範囲で吸光度との関係は良い直線関係を示すことがわかる。
測定下限は、空試験値との関係から吸光度として0.023すなわちよう素量として0.18mgとした。

- (2) よう素の抽出におよばず共存アルコールの影響
この結果をFig. 15に示す。被抽出水溶液中のアルコール濃度が増加するとそれにしたがってよう素抽出液の吸光度が低下することがわかる。エチルアルコールの場合は、共存量が10v/vまでは吸光度に変化がないので被抽出水溶液中に許容しうるアルコール量は、約8mℓであることがわかる。
- (2) よう素の抽出におよばず共存アルコールの場合、エチルアルコールの場合と異なりよう素の吸光度は急速に低下し、一定吸光度を示す濃度範囲がない。

- したがって、ナトリウムの溶解に変性アルコールを使用したときは、よう素の抽出測定を行う前に妨害となる変性アルコールを除去しておく必要がある。
- 変性アルコールは、湯浴上で加熱して蒸発除去することにしたが、よう素を含む変性アルコールをビーカーにとりそのまま加熱するとアルコールが沸とう状態になり飛沫によってよう素の一部が損失することがわかった。これを防止するため変性アルコール試料は、湯浴上で加熱を行なう前に試料と同量の水を加えることにした。

この方法によるとときのよう素の消失の有無を確かめるため、よう素含有変性アルコール浴液の一定量をとり、繰り返し蒸発試験を行なった。その結果、よう素は、アルコールの蒸発乾固操作において実験器具の範囲内で全く損失のないことが確かめられた。

- この結果から、本文のコールド実験でアルコール中のよう素を測定するときは、試料浴液と同量の水を加えたのち蒸発乾固して変性アルコールを除去し、残渣を水で溶解して抽出操作を行なうとした。
- (3) よう素の化学形によるナトリウム溶解時の移動
実験結果をTable 8に示した。アルコール中に溶解したよう素の揮発消失はほとんど認められなかつた。

单体であるナトリウムの溶解によって、よう素の揮発消失はほとんど認められなかつた。
单体よう素をアルコールに溶解すると褐色の浴液がえられた。これにナトリウムを投じて溶解すると单体よう素にもとづく呈色が数分後に消失して無色となつた。これは恐らく、ナトリウムの溶解によって生成した水素により单体よう素が還元されよう素イオンを生じたためと考えられる。

1. うつりトリウムをモニタールに浴解した場合、ナトリウムを投入してもよう素イオノン

を析出するが、試験に用いるよう素の化学形はどうせどちらでもよいことだから。

本文の試験では吸収性の容易なよう化ナトリウムを用いたことにした。

5. 実験

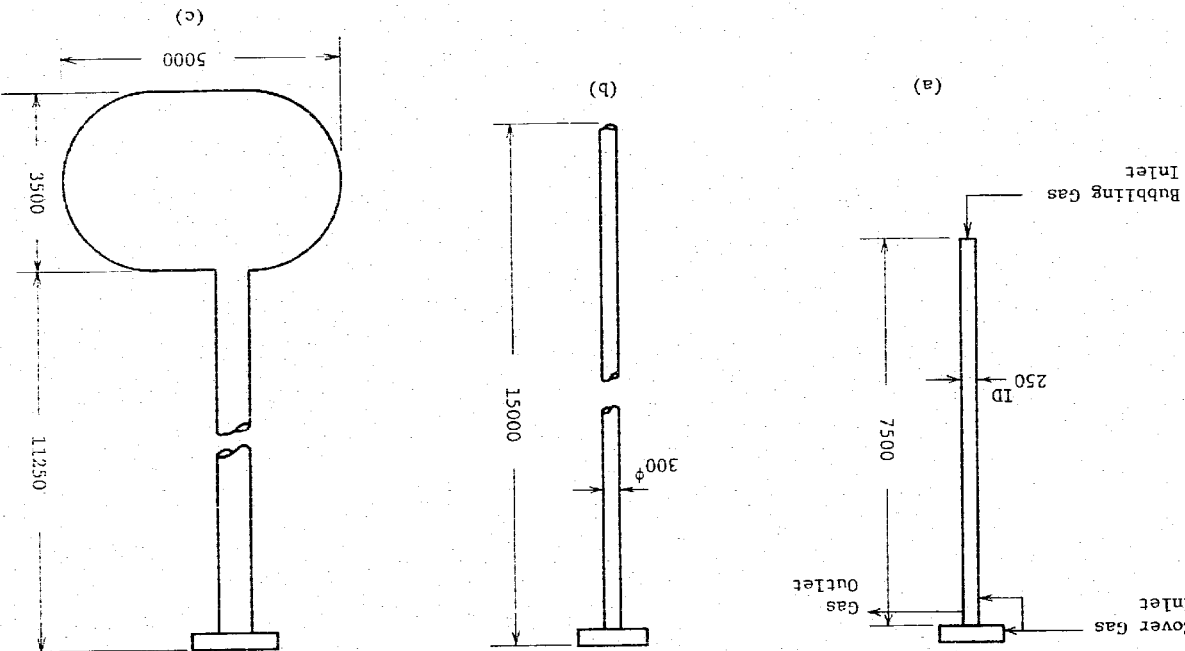
(1) コードドリフタ法においてよう素を定量するための四塩化炭素抽出法による検量線を作成し、絶対精度で 0.18 ～ 7 mg までのよう素の定量を可能にした。

なお、定量下限は既試験値の変動などを考慮して 0.18 mgとした。

(2) 四塩化炭素抽出法でよう素を定量するとき、変性アルコールの共存は、よう素の溶解を妨害することことがわかった。変性アルコールは、よう素の定量操作の前に素焼純して除去しうることがわかった。

(3) アルコール中に浴解するよう素の化学形は、固体よう素またはよう化ナトリウムどちらでもよいことがわかった。本文の実験では吸収の容易なよう化ナトリウムを用いたことにした。

Fig. 1 Washing Vessels for JOYO and MONJU Primary System Components



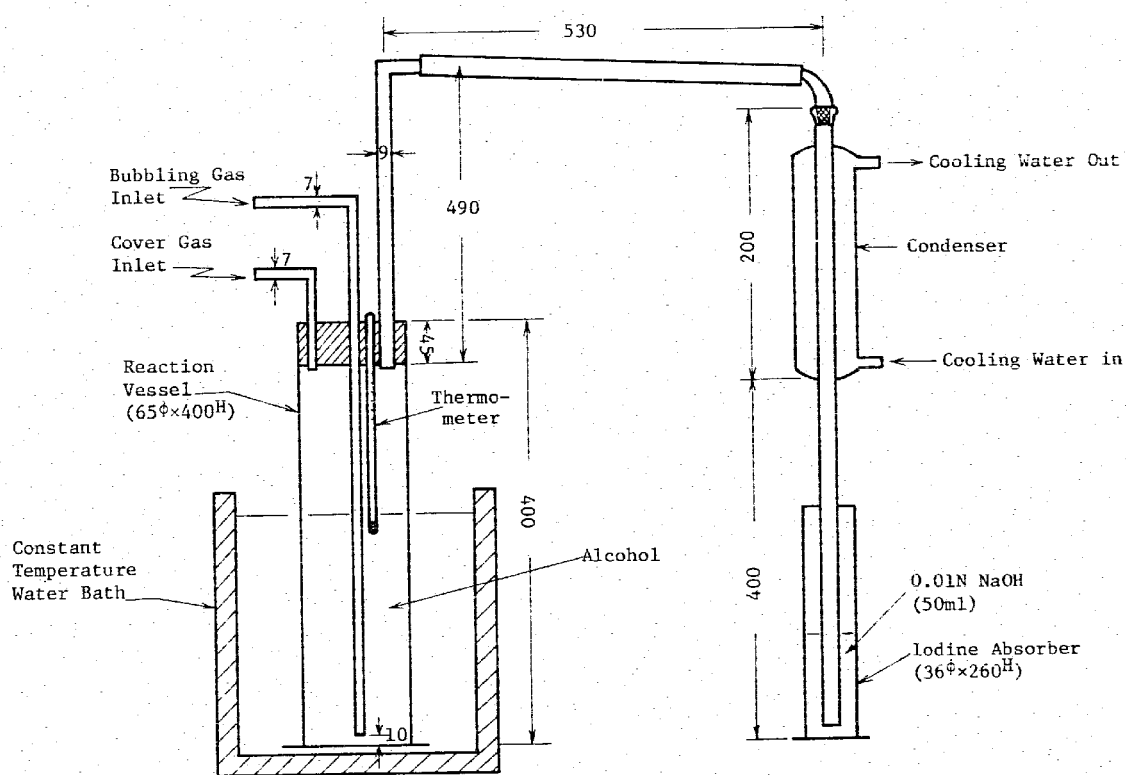


Fig. 2 Iodine Transfer Measuring Apparatus

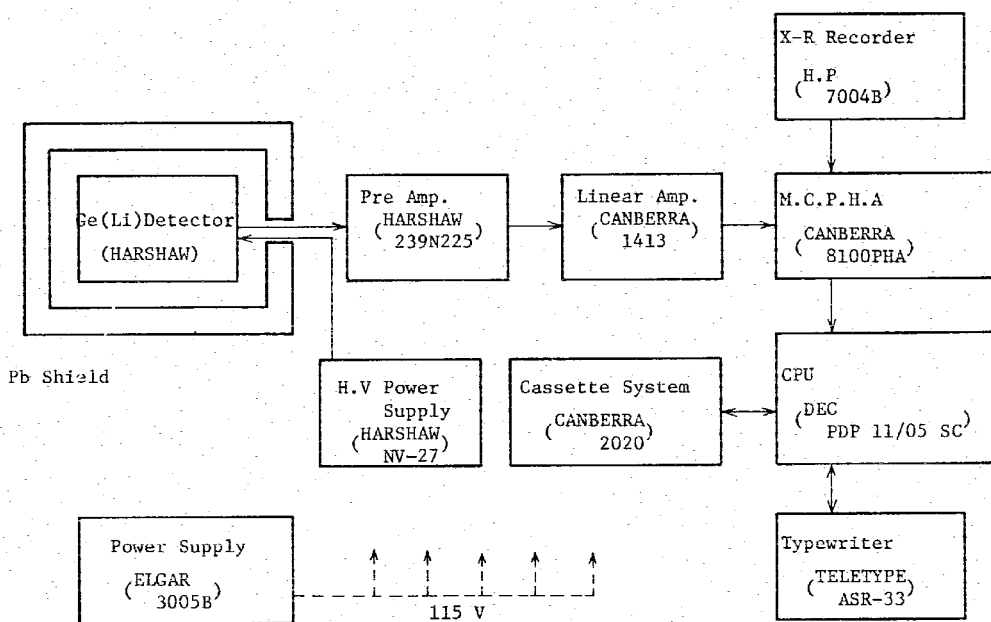


Fig. 3 Block Diagram of Gamma Ray Measuring System

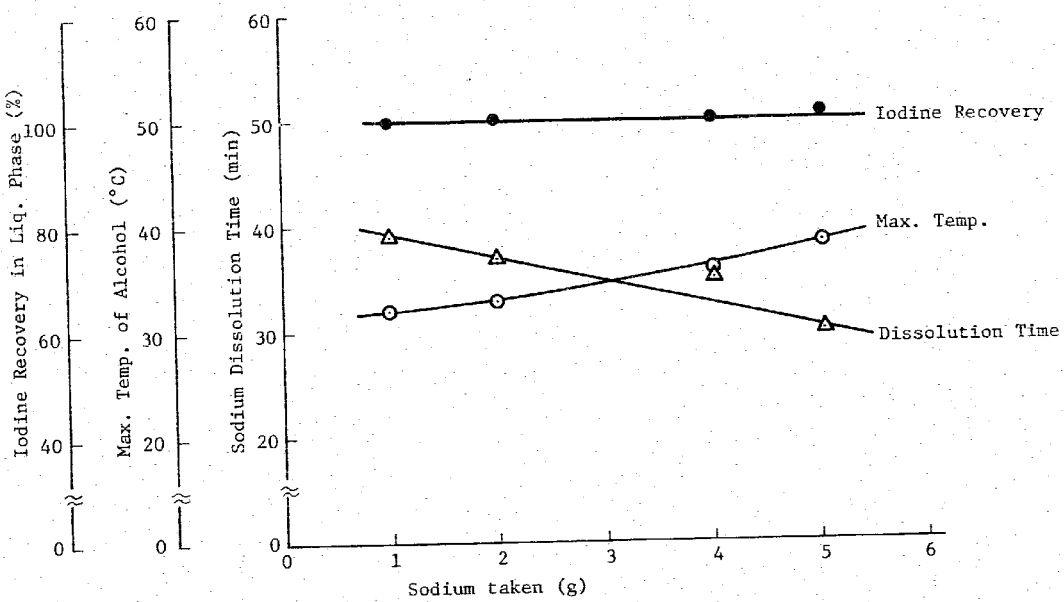


Fig. 4 Dissolution Time and Max. Temp. of Alcohol in Cold Run A

Iodine added : 100 mg
 Initial Vol. of Alcohol : About 500 ml
 Initial Temp. of Alcohol : 30 °C

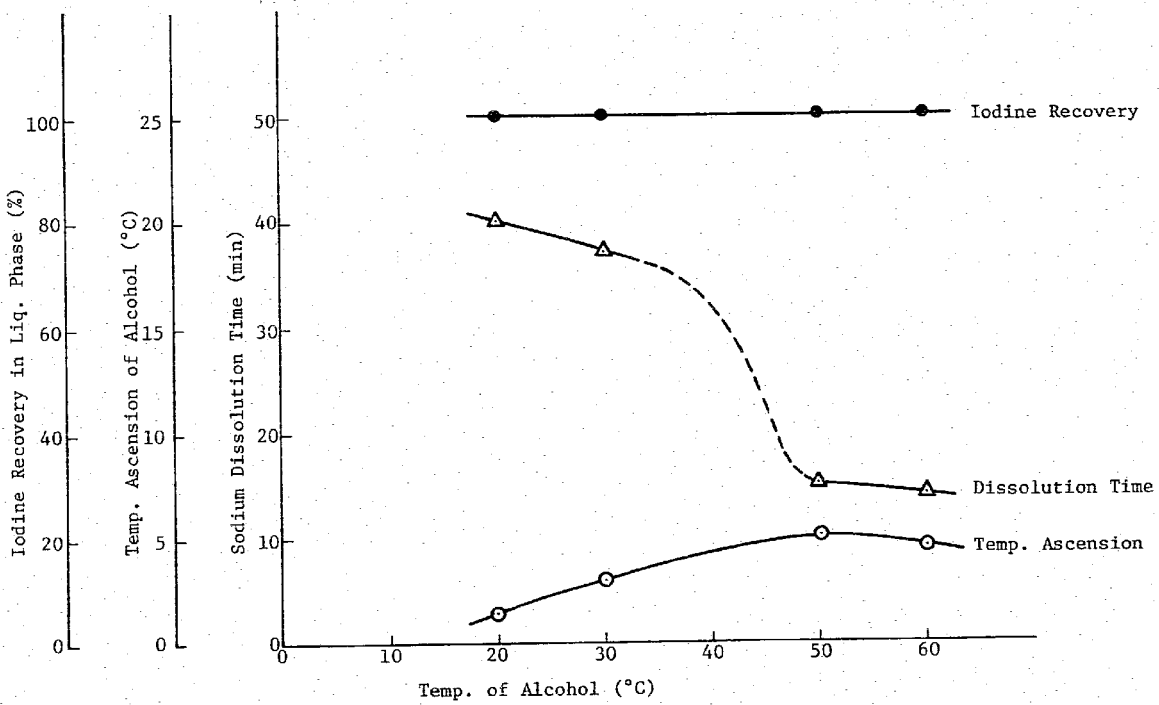


Fig. 5 Dissolution Time and Temp. Ascension of Alcohol in Cold Run B

Iodine added : 100 mg
 Initial Vol. of Alcohol : About 500 ml
 Sodium added : 2 g

- 24 -

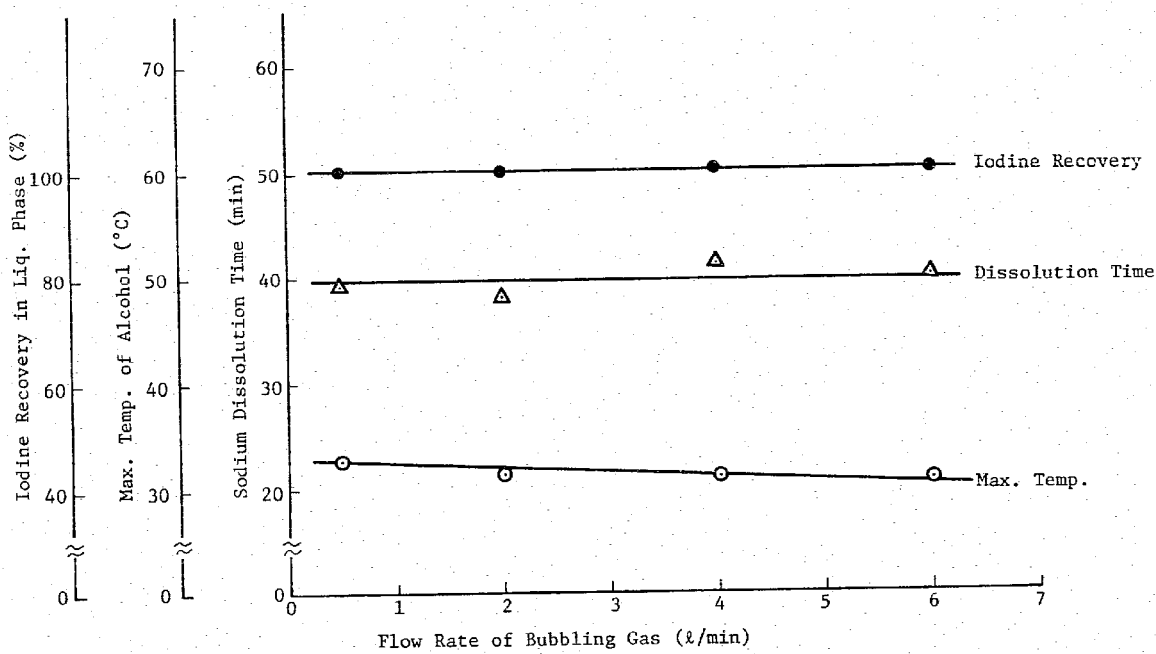


Fig. 6 Dissolution Time and Max. Temp. of Alcohol in Cold Run C

Iodine added : 100 mg
 Initial Vol. of Alcohol : 500 ml
 Initial Temp. of Alcohol : 30 °C
 Sodium added : 2 g
 Gas Flowing Time : 45 min

- 25 -

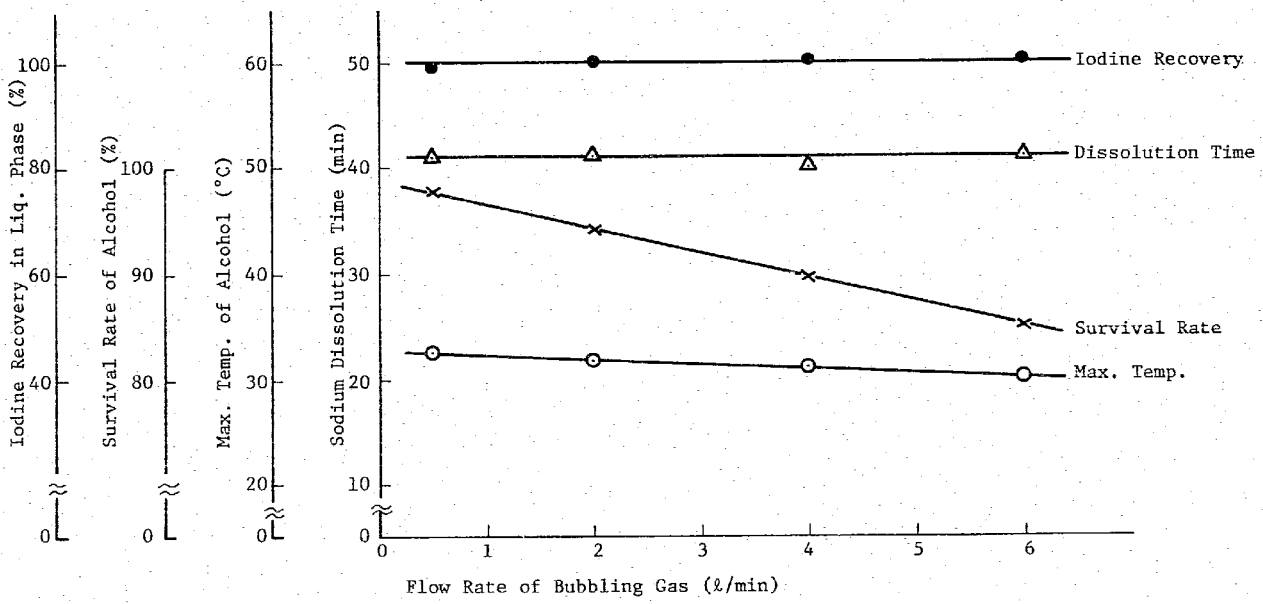


Fig. 7 Dissolution Time, Max. Temp. of Alcohol and Survival Rate of Alcohol in Cold Run D

Iodine added : 100 mg Sodium added : 2 g
 Initial Vol. of Alcohol : 500 ml Flow Rate of Cover Gas : 1.0 l/min
 Initial Temp. of Alcohol : 30 °C Gas Flowing Time : 45 min

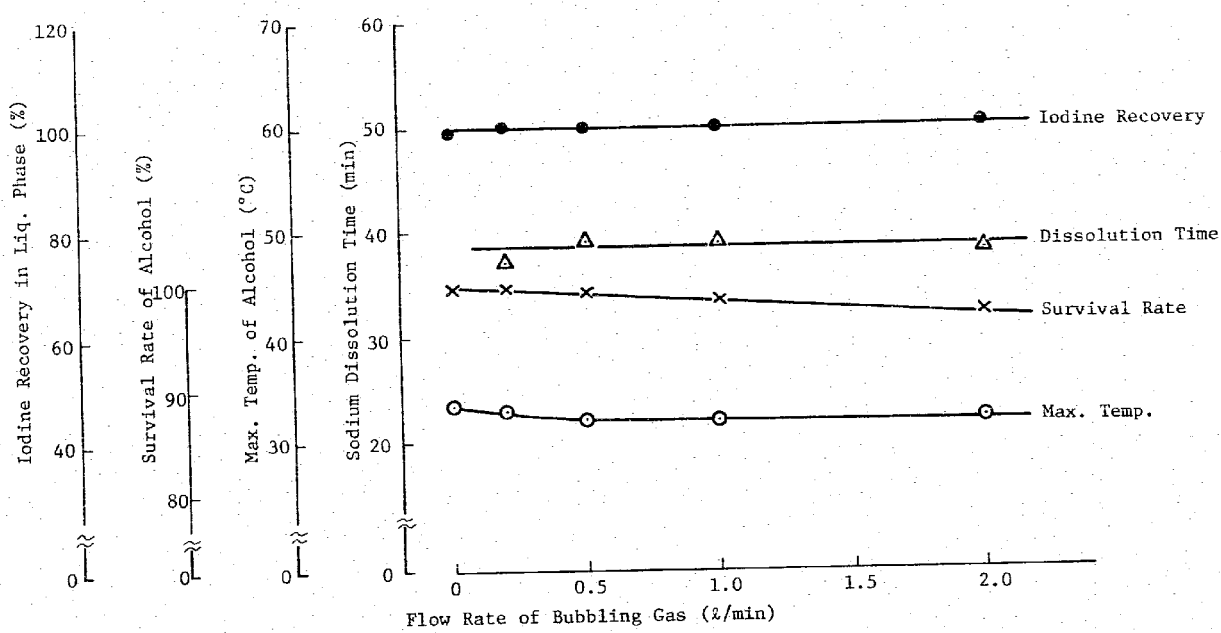


Fig. 8 Dissolution Time, Max. Temp. of Alcohol and Survival Rate of Alcohol in Hot Run E

Iodine added : 1~2 μ Ci Sodium added : 2 g
Initial Vol. of Alcohol : ~500 ml Gas Flowing Time : 45 min
Initial Temp. of Alcohol : 30 °C

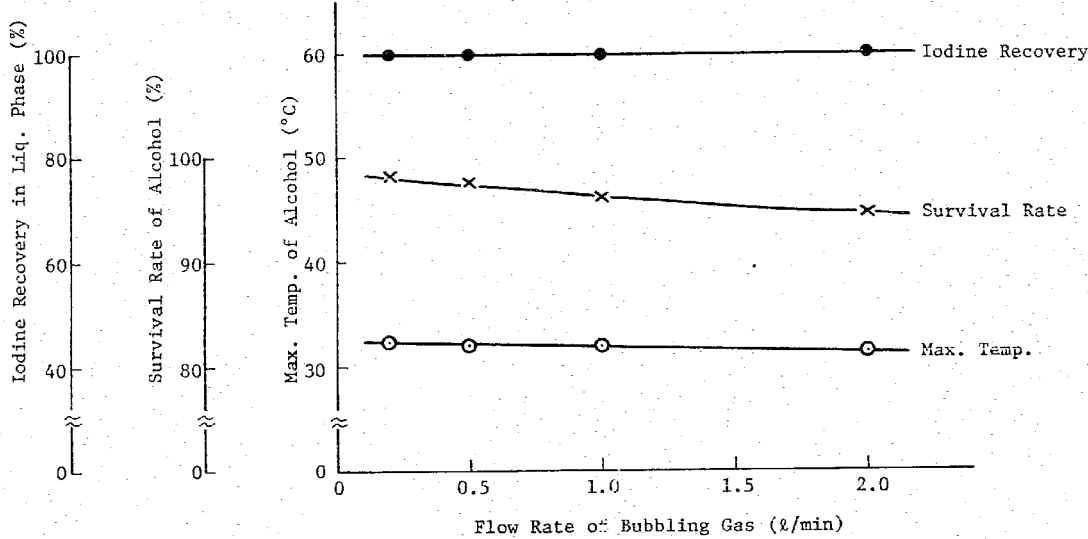


Fig. 9 Max. Temp. of Alcohol and Survival Rate of Alcohol in Hot Run F

Iodine added : 1~2 μ Ci Sodium added : 2 g
Initial Vol. of Alcohol : ~500 ml Flow Rate of Cover Gas : 1.0 l/min
Initial Temp. of Alcohol : 30 °C Gas Flowing Time : 45 min

- 82 -

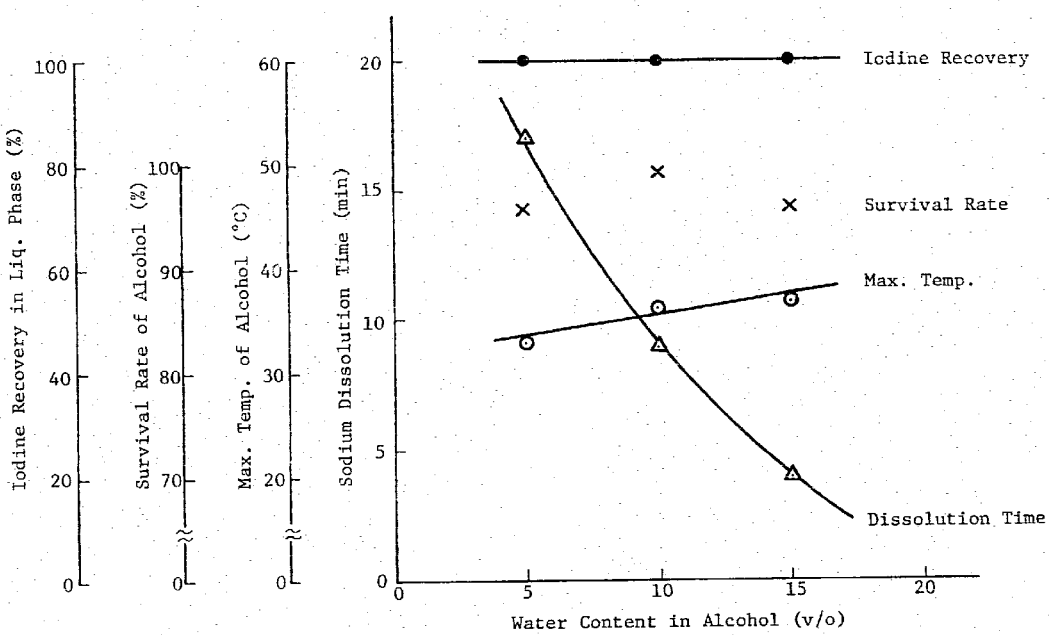


Fig. 10 Dissolution Time, Max. Temp. of Alcohol and Survival Rate of Alcohol in Hot Run G

Iodine added : 1~2 μ Ci Sodium added : 2 g
 Initial Vol. of Alcohol : ~500 ml Flow Rate of Bubbling Gas : 2 l/min
 Initial Temp. of Alcohol : 30 °C Flow Rate of Cover Gas : 1 l/min

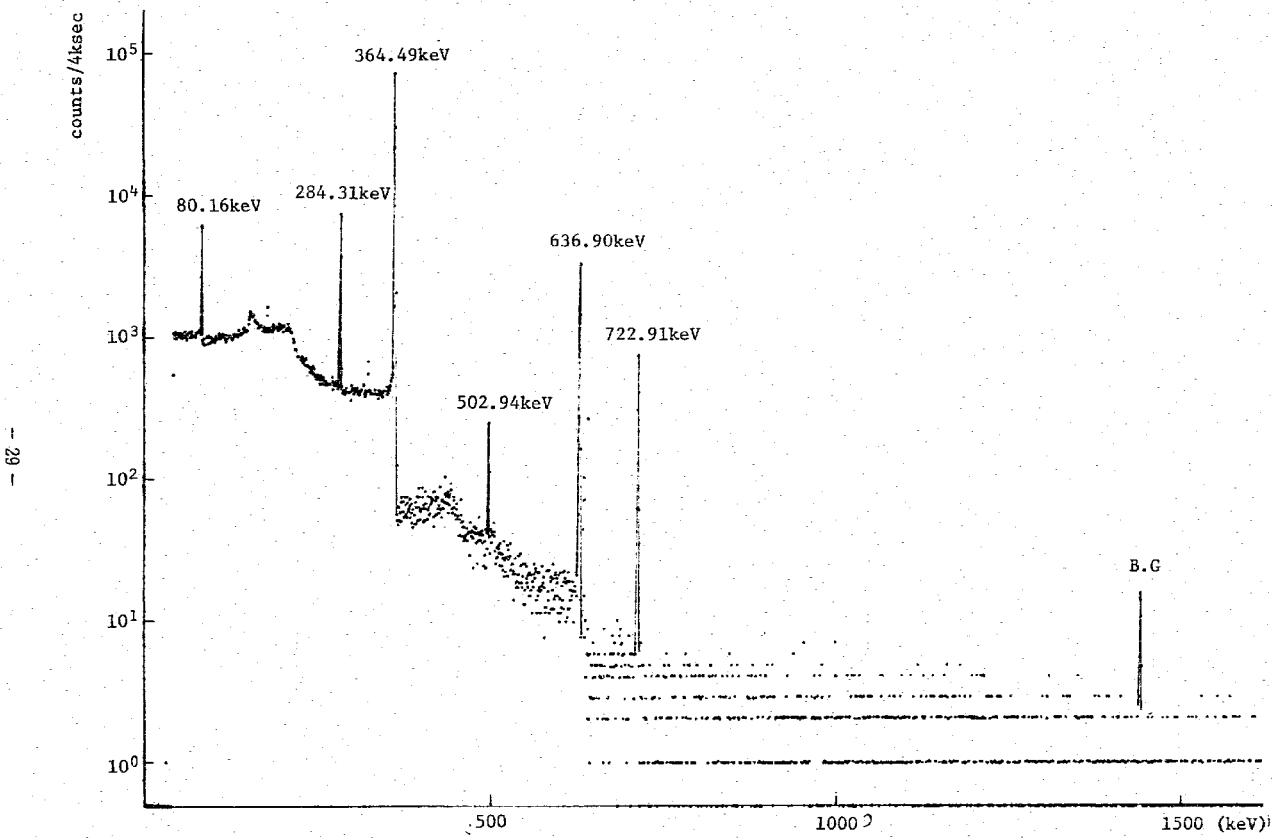


Fig. 11 Gamma Ray Spectrum of I-131 in Alcohol Solution (Hot Run-G3)

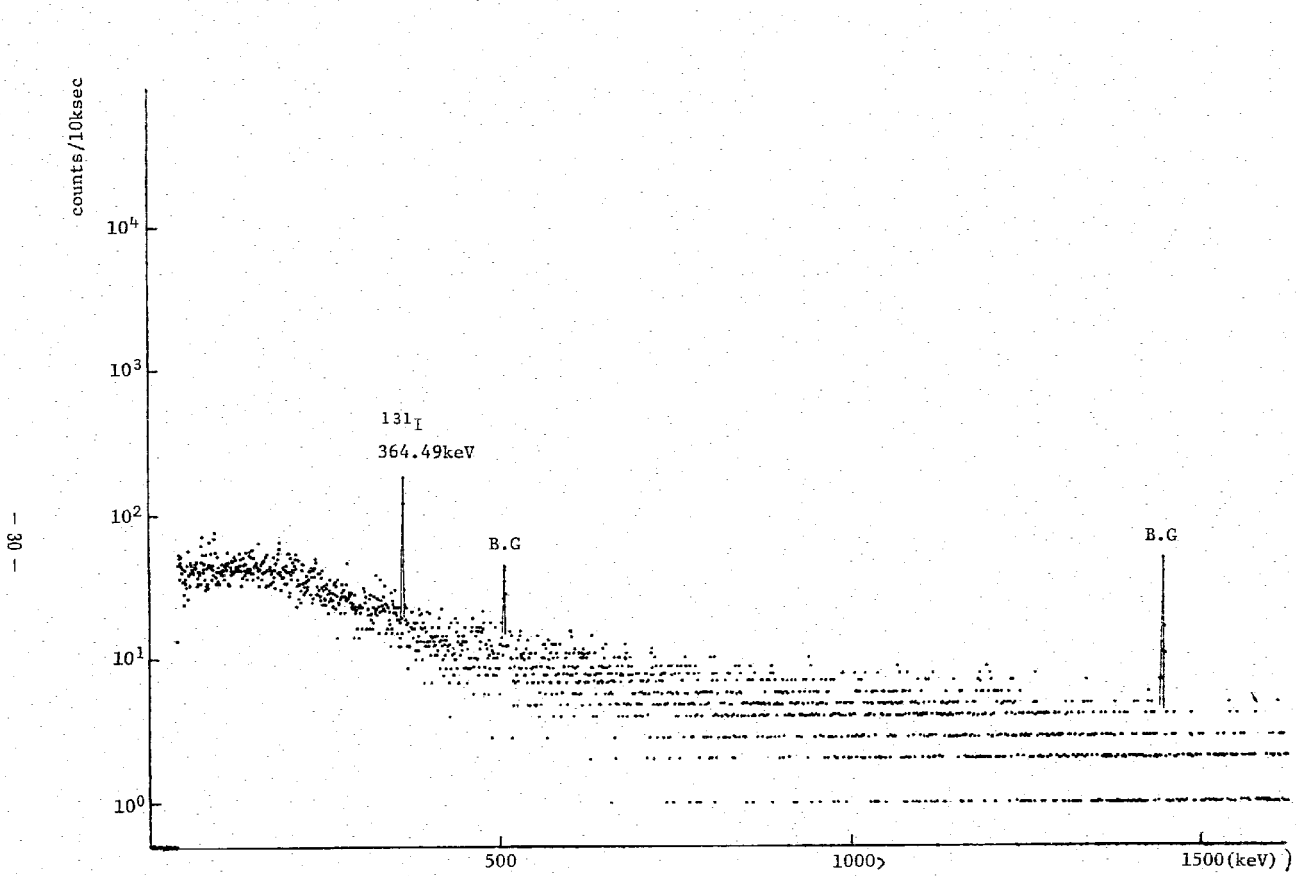


Fig. 12 Gamma Ray Spectrum of I-131 found in Trap Solution (Hot Run-G3)

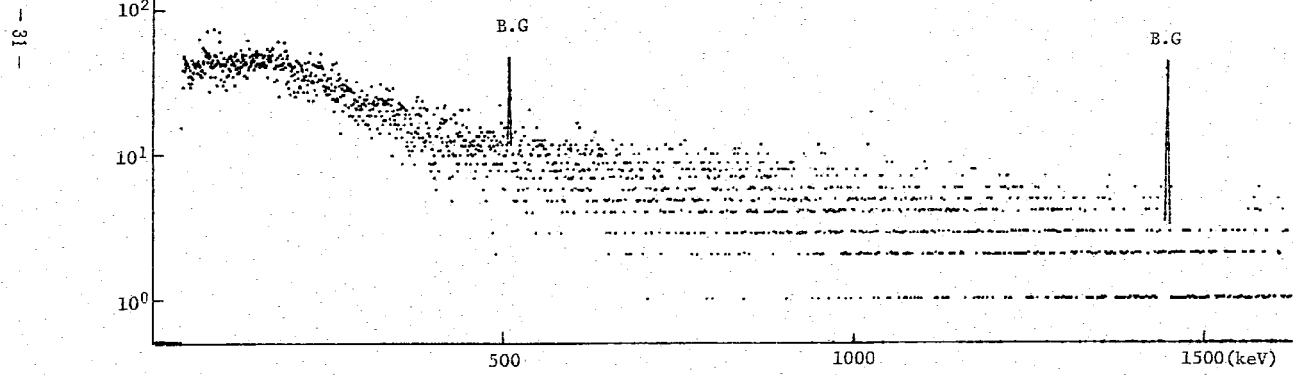


Fig. 13 Gamma Ray Spectrum of Trap Solution (Hot Run-E2)

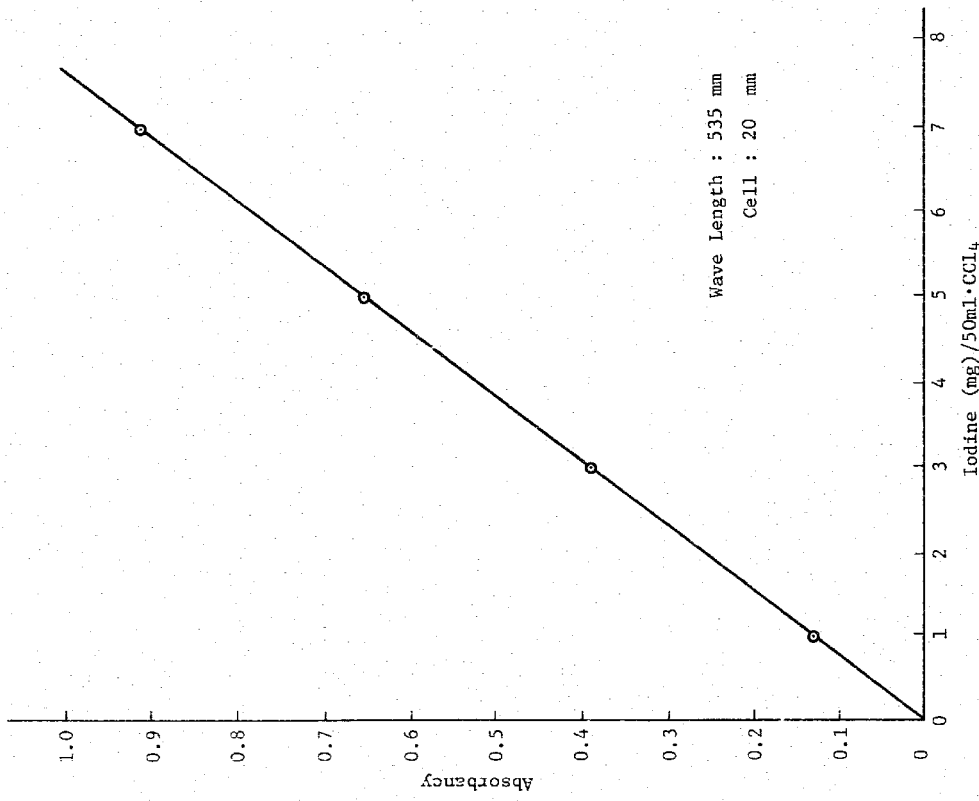
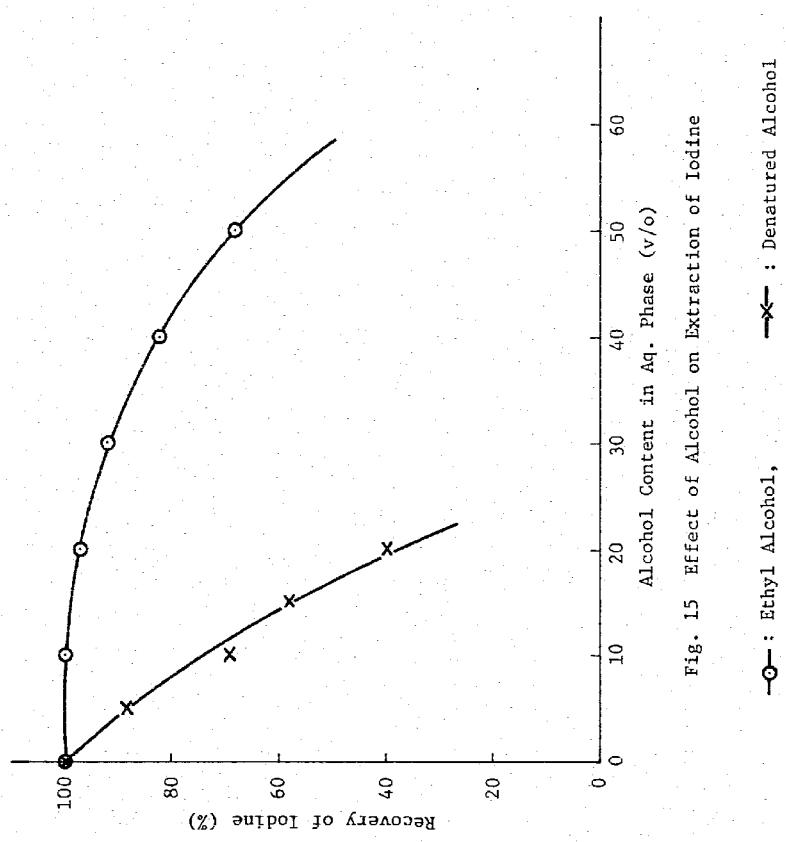
Fig. 14 Calibration Curve of Iodine by CCl₄ Extraction Method

Fig. 15 Effect of Alcohol on Extraction of Iodine

Table 1 Design of Sodium Removal System for JOYO and MONJU Primary System Components

	JOYO	MONJU	
		FHM Gripper	Fuel Exchanger
Max. Sodium Wt. to be removed (g)	250	1750	3000
Kind of Alcohol to be used	Ethyl Alcohol	Denatured Alcohol	
Water Content in Alcohol (v/o)	0 ~ 20	0 ~ 20	
Max. Vol. of Alcohol in Vessel (l)	306.7	800	10000
Kind of Flowing Gas	N ₂ (99.99 %)	N ₂ (99.99 %)	
Flow Rate of Cover Gas (Nm ³ /h)	3	36	
Flowing Position of Cover Gas	Upper Part of Vessel		
Pressure of Cover Gas (kg/cm ² G)	0.3	0.5	
Flow Rate of Bubbling Gas (Nm ³ /h)	30	180	
Flowing Position of Bubbling Gas	Bottom of Vessel	Bottom of Vessel	
Operational Pressure (kg/cm ² G)	0 ~ 0.3	0 ~ 0.5	
Operational Temperature (°C)	25	0 ~ 60	
Operational Level of Alcohol in Vessel (Hm)	0 ~ 6260	0 ~ 12500	
Ascension Speed of Alcohol Level (m/min)	0.35	0.35	
Draining Speed of Alcohol from Vessel (m ³ /h)	0 ~ 2.5	-	
Vol. of Cover Gas in Vessel (l)	400 ~ 100.9	200	800
Cask to be connected		N ₂ (99.99 %)	
(i) Kind of Cover Blowdown Gas		N ₂ (99.99 %)	
(ii) Vol. of " " (Nm ³ /h)	~ 1	~ 1	
Wast Gas Vol. from Vessel			
(i) in Bubbling Process (m ³ /h)	34	216	
(ii) in Sodium Removing Process (Containing H ₂ Gas) (m ³ /h max.)	4.8	-	

Table 2 MONJU Sodium Removal System Parameter and Experimental Parameter

Parameter	MONJU Sodium Removal System Parameter to be Used				Experimental Parameter Selected
	FHM Gripper	Fuel Exchanger	Parameters Corresponding to 0.5% of Alcohol		
	FHM Gripper	Fuel Exchanger	FHM Gripper	Fuel Exchanger	
Vol. of Alcohol to be used (l)	800	10000	0.5	0.5	0.5
Flow Rate of Cover Gas (l/min)	36 × 10 ²	36 × 10 ²	0.375	0.03	0 ~ 1.0
Flow Rate of Bubbling Gas (l/min)	3 × 10 ³	3 × 10 ³	1.88	0.15	0.2 ~ 6.0
Sodium Wt. to be removed (g)	1750	3000	1.1	0.15	2 ~ 5
Temp. of Alcohol (°C)	0 ~ 60	0 ~ 60	-	-	20 ~ 60
H ₂ O Content in Alcohol (v/o)	0 ~ 20	0 ~ 20	-	-	0 ~ 20

Table 4. Composition of Iodine 131 Standard Solution
(made in France)

Date Estimated	: Jan, 23/1978
Activity	: $314.5 \mu\text{Ci} \cdot \text{g}^{-1} (1164 \times 10^7 \text{ Bq} \cdot \text{g}^{-1})$
Volume	: $5 \text{ ml} \pm 0.2 \%$
Sp. Gr. at 20°C	: 0.998

Chemical Composition : $50 \mu\text{g} \cdot \text{g}^{-1} \text{NaI} + 50 \mu\text{g} \cdot \text{g}^{-1} \text{Na}_2\text{S}_2\text{O}_3$ in H_2O

Table 5. Composition of Denatured Alcohol.

Ethyl Alcohol	: 93.4 w/o
Methyl Ethyl Ketone	: 2.0 "
Sucrose Octa-Acetate	: 0.1 "
Isopropyl Alcohol	: 4.5 "
Code Name	: Ekinen-F1
Maker	: Nippon Kaseihin KK

Run No.	Alcohol (ml)	Iodine (mg)	Sodium Iodide (mg)	Temp. of Alcohol (°C)	Flow Rate of Bubbles of Cover	Flow Rate of Gas (l/min)	Remark
A-1	500	100	1	-	-	-	
B-1	2	30	1	-	-	-	
C-1	2	20	1	-	-	-	
D-1	2	30	1	-	-	-	
E-1	2	30	1	-	-	-	
F-1	2	30	1	-	-	-	
G-1	2	30	1	-	-	-	
H-1	2	30	1	-	-	-	
I-1	2	30	1	-	-	-	
J-1	2	30	1	-	-	-	
K-1	2	30	1	-	-	-	
L-1	2	30	1	-	-	-	
M-1	2	30	1	-	-	-	
N-1	2	30	1	-	-	-	
O-1	2	30	1	-	-	-	
P-1	2	30	1	-	-	-	
Q-1	2	30	1	-	-	-	
R-1	2	30	1	-	-	-	
S-1	2	30	1	-	-	-	
T-1	2	30	1	-	-	-	
U-1	2	30	1	-	-	-	
V-1	2	30	1	-	-	-	
W-1	2	30	1	-	-	-	
X-1	2	30	1	-	-	-	
Y-1	2	30	1	-	-	-	
Z-1	2	30	1	-	-	-	
A-2	2	30	1	-	-	-	
B-2	2	30	1	-	-	-	
C-2	2	30	1	-	-	-	
D-2	2	30	1	-	-	-	
E-2	2	30	1	-	-	-	
F-2	2	30	1	-	-	-	
G-2	2	30	1	-	-	-	
H-2	2	30	1	-	-	-	
I-2	2	30	1	-	-	-	
J-2	2	30	1	-	-	-	
K-2	2	30	1	-	-	-	
L-2	2	30	1	-	-	-	
M-2	2	30	1	-	-	-	
N-2	2	30	1	-	-	-	
O-2	2	30	1	-	-	-	
P-2	2	30	1	-	-	-	
Q-2	2	30	1	-	-	-	
R-2	2	30	1	-	-	-	
S-2	2	30	1	-	-	-	
T-2	2	30	1	-	-	-	
U-2	2	30	1	-	-	-	
V-2	2	30	1	-	-	-	
W-2	2	30	1	-	-	-	
X-2	2	30	1	-	-	-	
Y-2	2	30	1	-	-	-	
Z-2	2	30	1	-	-	-	
A-3	2	30	1	-	-	-	
B-3	2	30	1	-	-	-	
C-3	2	30	1	-	-	-	
D-3	2	30	1	-	-	-	
E-3	2	30	1	-	-	-	
F-3	2	30	1	-	-	-	
G-3	2	30	1	-	-	-	
H-3	2	30	1	-	-	-	
I-3	2	30	1	-	-	-	
J-3	2	30	1	-	-	-	
K-3	2	30	1	-	-	-	
L-3	2	30	1	-	-	-	
M-3	2	30	1	-	-	-	
N-3	2	30	1	-	-	-	
O-3	2	30	1	-	-	-	
P-3	2	30	1	-	-	-	
Q-3	2	30	1	-	-	-	
R-3	2	30	1	-	-	-	
S-3	2	30	1	-	-	-	
T-3	2	30	1	-	-	-	
U-3	2	30	1	-	-	-	
V-3	2	30	1	-	-	-	
W-3	2	30	1	-	-	-	
X-3	2	30	1	-	-	-	
Y-3	2	30	1	-	-	-	
Z-3	2	30	1	-	-	-	
A-4	2	30	1	-	-	-	
B-4	2	30	1	-	-	-	
C-4	2	30	1	-	-	-	
D-4	2	30	1	-	-	-	
E-4	2	30	1	-	-	-	
F-4	2	30	1	-	-	-	
G-4	2	30	1	-	-	-	
H-4	2	30	1	-	-	-	
I-4	2	30	1	-	-	-	
J-4	2	30	1	-	-	-	
K-4	2	30	1	-	-	-	
L-4	2	30	1	-	-	-	
M-4	2	30	1	-	-	-	
N-4	2	30	1	-	-	-	
O-4	2	30	1	-	-	-	
P-4	2	30	1	-	-	-	
Q-4	2	30	1	-	-	-	
R-4	2	30	1	-	-	-	
S-4	2	30	1	-	-	-	
T-4	2	30	1	-	-	-	
U-4	2	30	1	-	-	-	
V-4	2	30	1	-	-	-	
W-4	2	30	1	-	-	-	
X-4	2	30	1	-	-	-	
Y-4	2	30	1	-	-	-	
Z-4	2	30	1	-	-	-	
A-5	2	30	1	-	-	-	
B-5	2	30	1	-	-	-	
C-5	2	30	1	-	-	-	
D-5	2	30	1	-	-	-	
E-5	2	30	1	-	-	-	
F-5	2	30	1	-	-	-	
G-5	2	30	1	-	-	-	
H-5	2	30	1	-	-	-	
I-5	2	30	1	-	-	-	
J-5	2	30	1	-	-	-	
K-5	2	30	1	-	-	-	
L-5	2	30	1	-	-	-	
M-5	2	30	1	-	-	-	
N-5	2	30	1	-	-	-	
O-5	2	30	1	-	-	-	
P-5	2	30	1	-	-	-	
Q-5	2	30	1	-	-	-	
R-5	2	30	1	-	-	-	
S-5	2	30	1	-	-	-	
T-5	2	30	1	-	-	-	
U-5	2	30	1	-	-	-	
V-5	2	30	1	-	-	-	
W-5	2	30	1	-	-	-	
X-5	2	30	1	-	-	-	
Y-5	2	30	1	-	-	-	
Z-5	2	30	1	-	-	-	
A-6	2	30	1	-	-	-	
B-6	2	30	1	-	-	-	
C-6	2	30	1	-	-	-	
D-6	2	30	1	-	-	-	
E-6	2	30	1	-	-	-	
F-6	2	30	1	-	-	-	
G-6	2	30	1	-	-	-	
H-6	2	30	1	-	-	-	
I-6	2	30	1	-	-	-	
J-6	2	30	1	-	-	-	
K-6	2	30	1	-	-	-	
L-6	2	30	1	-	-	-	
M-6	2	30	1	-	-	-	
N-6	2	30	1	-	-	-	
O-6	2	30	1	-	-	-	
P-6	2	30	1	-	-	-	
Q-6	2	30	1	-	-	-	
R-6	2	30	1	-	-	-	
S-6	2	30	1	-	-	-	
T-6	2	30	1	-	-	-	
U-6	2	30	1	-	-	-	
V-6	2	30	1	-	-	-	
W-6	2	30	1	-	-	-	
X-6	2	30	1	-	-	-	
Y-6	2	30	1	-	-	-	
Z-6	2	30	1	-	-	-	
A-7	2	30	1	-	-	-	
B-7	2	30	1	-	-	-	
C-7	2	30	1	-	-	-	
D-7	2	30	1	-	-	-	
E-7	2	30	1	-	-	-	
F-7	2	30	1	-	-	-	
G-7	2	30	1	-	-	-	
H-7	2	30	1	-	-	-	
I-7	2	30	1	-	-	-	
J-7	2	30	1	-	-	-	
K-7	2	30	1	-	-	-	
L-7	2	30	1	-	-	-	
M-7	2	30	1	-	-	-	
N-7	2	30	1	-	-	-	
O-7	2	30	1	-	-	-	
P-7	2	30	1	-	-	-	
Q-7	2	30	1	-	-	-	
R-7	2	30	1	-	-	-	
S-7	2	30	1	-	-	-	
T-7	2	30	1	-	-	-	
U-7	2	30	1	-	-	-	
V-7	2	30	1	-	-	-	
W-7	2	30	1	-	-	-	
X-7	2	30	1	-	-	-	
Y-7	2	30	1	-	-	-	
Z-7	2	30	1	-	-	-	
A-8	2	30	1	-	-	-	
B-8	2	30	1	-	-	-	
C-8	2	30	1	-	-	-	
D-8	2	30	1	-	-	-	
E-8	2	30	1	-	-	-	
F-8	2	30	1	-	-	-	
G-8	2	30	1	-	-	-	
H-8	2	30	1	-	-	-	
I-8	2	30	1	-	-	-	
J-8	2	30	1	-	-	-	
K-8	2	30	1	-	-	-	
L-8	2	30	1	-	-	-	
M-8	2	30	1	-	-	-	
N-8	2	30	1	-	-	-	
O-8	2	30	1	-	-	-	
P-8	2	30	1	-	-	-	

Table 6 Determination of Iodine Transfer Rate to Liquid Phase and Gas Phase in the Cold Run

Run No.	I' added (mg)	Na added (g)	ROH* Temp. (°C)	Bubbling Gas** (l/min)	Cover Gas** (l/min)	Initial Vol. of ROH (ml)	Dissolution Time of Na (min)	Time of Gas Flow (min)	Final Vol. of ROH (ml)	I' found (mg)		Transfer Rate	
										in ROH	in Trap	Liq. Phase	Gas Phase
A-1	100	1.01	30	-	-	503	39	-	503	99.6	<0.18	0.996	<0.18×10 ⁻²
-2	"	2.03	"	-	-	506	37	-	506	99.8	"	0.998	"
-3	"	4.03	"	-	-	505	35	-	504	101	"	1.0	"
-4	"	5.05	"	-	-	505	30	-	504	102	"	1.0	"
B-1	100	2.02	20	-	-	504	40	-	504	99.8	"	0.998	"
-2	"	2.03	30	-	-	506	37	-	506	100	"	1.0	"
-3	"	2.02	50	-	-	509	15	-	509	"	"	"	"
-4	"	2.02	60	-	-	500	14	-	500	"	"	"	"
C-1	100	2.04	30	0.5	-	505	39	45	500	100	"	1.0	"
-2	"	2.01	"	2.0	-	500	38	"	479	99.9	"	0.999	"
-3	"	2.03	"	4.0	-	500	41	"	470	101	"	1.0	"
-4	"	2.02	"	6.0	-	500	40	"	432	100	"	1.0	"
D-1	100	2.00	30	0.5	1.0	505	41	45	493	99.3	"	0.993	"
-2	"	1.99	"	2.0	"	505	41	"	475	100	"	1.0	"
-3	"	2.03	"	4.0	"	506	40	"	453	101	"	1.0	"
-4	"	2.03	"	6.0	"	506	41	"	430	101	"	1.0	"

* Denatured Alcohol (F-1)

** Argon Gas

Table 7 Determination of Iodine-131 Transfer Rate to Liq. Phase and Gas Phase in the Hot Run

Run No.	¹³¹ I added (μCi)	Na added (g)	ROH* Temp. (°C)	Bubbling Gas** (l/min)	Cover Gas** (l/min)	Initial Vol. of ROH (ml)	Dissolution Time of Na (min)	Time of Gas Flow (min)	Final Vol. of ROH (ml)	¹³¹ I found (μCi)		Transfer Rate	
										in ROH	in Trap	Liq. Phase	Gas Phase
E-1	1.735	2.04	30	-	-	509	-	45	506	1.72	<4.38×10 ⁻⁶	0.991	<2.52×10 ⁻⁶
-2	1.447	2.04	"	0.2	-	506	37	"	504	1.45	<4.71×"	1.0	<3.26×"
-3	1.229	2.00	"	0.5	-	504	39	"	500	1.24	<4.85×"	1.0	<3.94×"
-4	0.876	2.02	"	1.0	-	503	39	"	494	0.878	<4.87×"	1.0	<5.56×"
-5	0.836	2.01	"	2.0	-	504	38	"	489	0.844	<4.88×"	1.0	<5.84×"
F-1	2.000	2.03	30	0.2	1.0	495	-	45	485	2.00	2.97×10 ⁻⁵	1.0	1.49×10 ⁻⁵
-2	1.384	2.01	"	0.5	"	503	-	"	490	1.38	<6.75×10 ⁻⁶	0.994	<4.88×10 ⁻⁶
-3	1.398	2.00	"	1.0	"	505	-	"	485	1.40	4.09×10 ⁻⁵	1.0	2.93×10 ⁻⁵
-4	1.270	2.01	"	2.0	"	506	-	"	477	1.27	4.04×10 ⁻⁵	1.0	3.18×10 ⁻⁵
G-1	1.127	2.00	30	2.0	1.0	505 ^{a)}	17	45	482	1.13	3.29×10 ⁻⁵	1.0	2.92×10 ⁻⁵
-2	1.109	"	"	"	"	505 ^{b)}	9	9	500	1.11	<5.09×10 ⁻⁶	1.0	<4.59×10 ⁻⁶
-3	1.563	2.01	"	"	"	500 ^{c)}	4	45	479	1.56	6.30×10 ⁻⁵	1.0	4.03×10 ⁻⁵

* Denatured Alcohol (F-1)

** Argon Gas

(a) 5 v/o Water in Alcohol

(b) 10 v/o Water in Alcohol

(c) 15 v/o Water in Alcohol

Table 8 Determination of Iodine Retention Rate in Liq. Phase in the Use of Different Chemical Form of Iodine

Run No.	Before Sodium Dissolution			After Sodium Dissolution			Iodine Retention Rate in Liq. Phase (%)
	Volume of ROH* (ml)	Chemical Form of Iodine added	Amounts of I added (mg)	Sodium added (g)	Volume of ROH* (ml)	Iodine found in Liq. Phase (mg)	
P-1	491	NaI	44.8	1.0	490	44.7	99.8
-2	489	"	44.1	"	"	44.3	100
P-3	489	I ₂	48.8	"	480	47.9	98.2
-4	489	"	49.3	"	"	49.9	101

* Denatured Alcohol (F-1)